

Optoelektronischer Koppler MB 104

JÜRGEN GRAFE

Mitteilung aus dem VEB Werk für Fernseh elektronik

Der optoelektronische Koppler MB 104 besteht aus einer GaAs-Infrarotemitterdiode als Sender und einem npn-Si-Fototransistor als Empfänger. Er dient zur galvanischen Trennung von Stromkreisen mit hohen Potentialdifferenzen und ist vorwiegend für den Einsatz in der Meß-, Steuer- und Regelungstechnik vorgesehen.

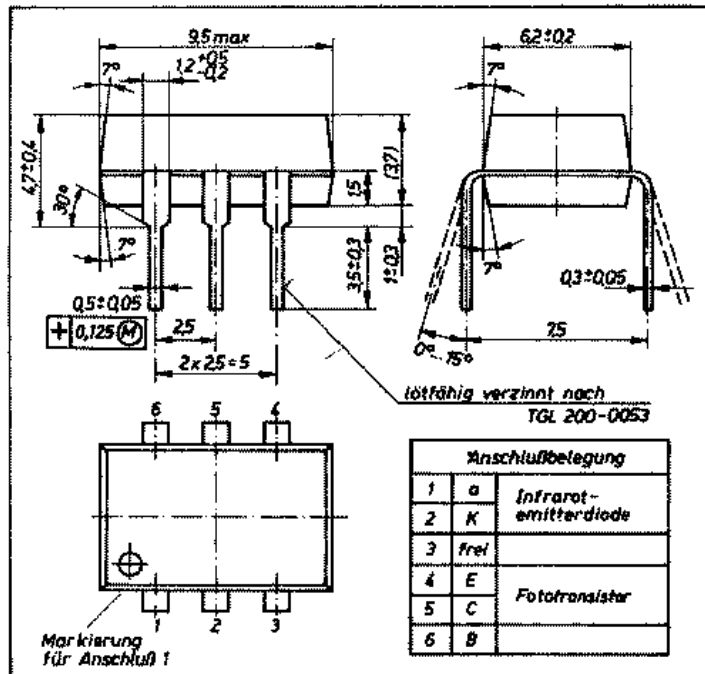


Bild 1: Abmessungen und Anschlußbelegung

Kennwerte bei $\theta_a = 25^\circ\text{C}$

Bezeichnung	min.	typ.	max.
Eingangskreis			
Durchlaßgleichspannung U_F in V bei $I_F = 40 \text{ mA}$	1,3	1,5	
Sperrgleichstrom I_{FH} in μA bei $U_H = 6 \text{ V}$		10	
Ausgangskreis			
Kollektorstrom I_{CE0} in nA bei $U_{CE} = 10 \text{ V}$	50		
Kollektorstrom I_{CE0} in μA bei $U_{CE} = 32 \text{ V}$	10		
Kollektor-Basisstrom I_{CB0} in μA bei $U_{CB} = 70 \text{ V}$	100		
Emitter-Kollektorstrom I_{EC0} in μA bei $U_{EC} = 6 \text{ V}$	10		
Koppler			
Kollektorstrom I_{CE} in mA bei $I_F = 10 \text{ mA}$, $U_{CE} = 5 \text{ V}$			
Gruppe A	4		
Gruppe B	10	28	
Gruppe C	16		
Kollektorstrom I_{CE} in mA bei $I_F = 3,2 \text{ mA}$, $U_{CE} = 0,4 \text{ V}$			
Gruppe A	0,2		
Gruppe B	0,5		
Gruppe C	1,6		
Isolationswiderstand R_{in} in Ω bei $U_{in} = 0,5 \text{ kV}$	10^{11}	10^{12}	
Schaltzeiten			
bei $I_F = 10 \text{ mA}$, $U_B = 5 \text{ V}$, $R_L = 75 \Omega$			
Verzögerungszeit t_{tr} in μs	5		
Anstiegszeit t_{fa} in μs	10		
Speicherzeit t_s in μs	1,5		
Abfallzeit t_{fb} in μs	10		

Grenzkennwerte bei $\theta_a = -55...+85^\circ\text{C}$

Bezeichnung	min.	max.
Infrarotemitterdiode		
Durchlaßgleichstrom I_F in mA	40	
Durchlaßspitzenstrom I_{FSI} in mA	80 ¹⁾	
Spitzenperrspannung U_{FSX} in V	6	
Transistor		
Kollektor-Emitter-Spitzenspannung U_{CEX} in V	32	
Emitter-Kollektor-Spitzenspannung U_{EX} in V	6	
Koppler		
Prüfspannung U_p in kV^2	2,8	
Betriebstemperaturbereich θ_a in $^\circ\text{C}$	-55	85
Lagerungstemperaturbereich θ_{Lta} in $^\circ\text{C}$	-55	125

1) gemessen bei einer Impulsdauer $t_p = 50 \mu\text{s}$ und einem Tastverhältnis $r = \frac{t_p}{T} = 1:2$

2) Bezugsatmosphäre und Korrekturwerte bei abweichenden Umgebungsbedingungen gemäß TGL 20 618/02

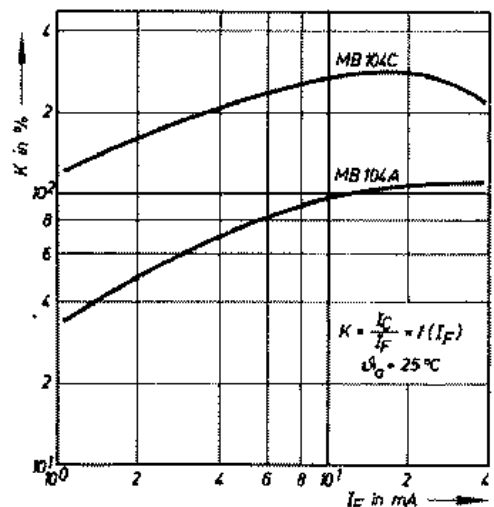


Bild 2: Mittlerer Übertragungsfaktor in Abhängigkeit vom Eingangsstrom

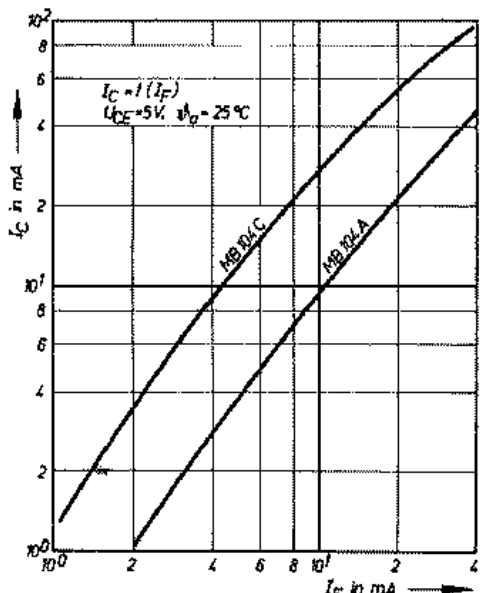


Bild 3: Mittlerer Kollektorstrom des Ausgangstransistors in Abhängigkeit vom Eingangsstrom

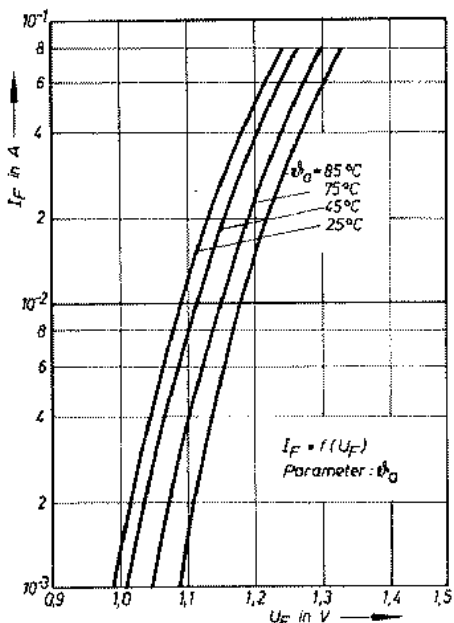


Bild 4: Mittlerer Durchlaßstrom der Eingangsdiode in Abhängigkeit von der Durchlaßspannung. Parameter: Umgebungstemperatur θ_a . Die Zuordnung der Parameter zu den Kurven muß in umgekehrter Reihenfolge erfolgen

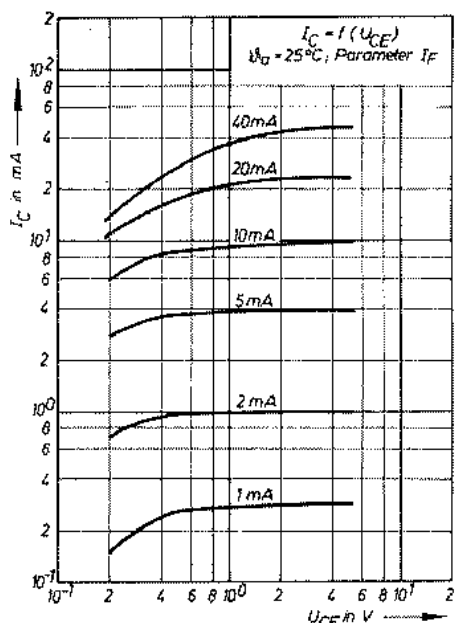


Bild 5: Mittlerer Kollektorstrom in Abhängigkeit der Kollektor-Emitterspannung (MB 104 A). Parameter: Eingangsstrom I_F

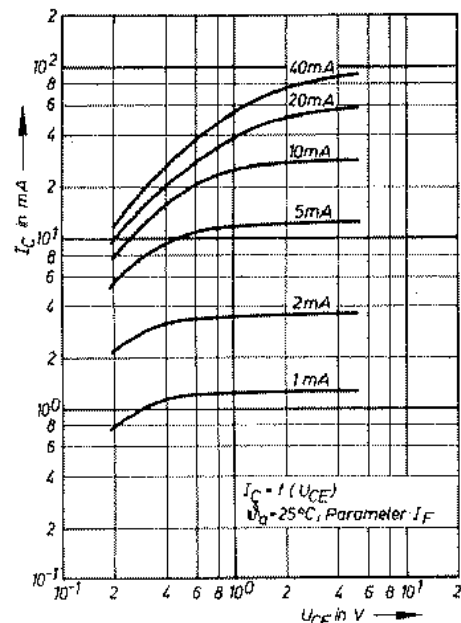


Bild 6: Mittlerer Kollektorstrom in Abhängigkeit der Kollektor-Emitterspannung (MB 104 C). Parameter: Eingangsstrom I_F

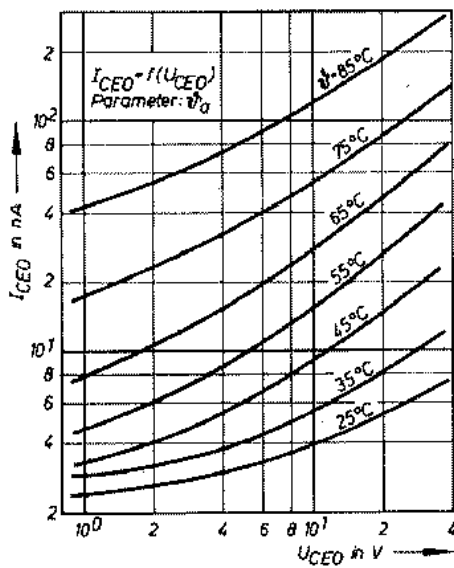


Bild 7: Mittlerer Kollektor-Emitterdunkelstrom in Abhängigkeit von der Kollektor-Emitterspannung. Parameter: Umgebungstemperatur θ_a

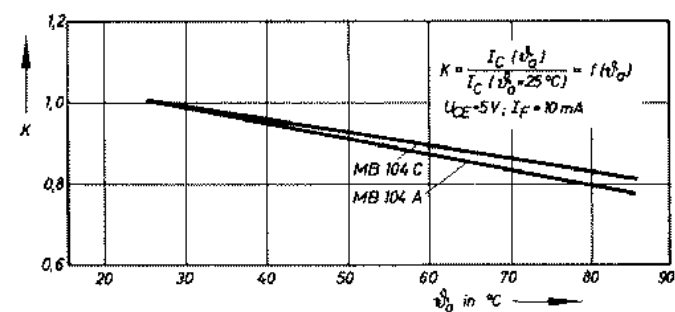


Bild 8: Mittlerer normierter Ausgangstrom des Fototransistors in Abhängigkeit von der Umgebungstemperatur θ_a

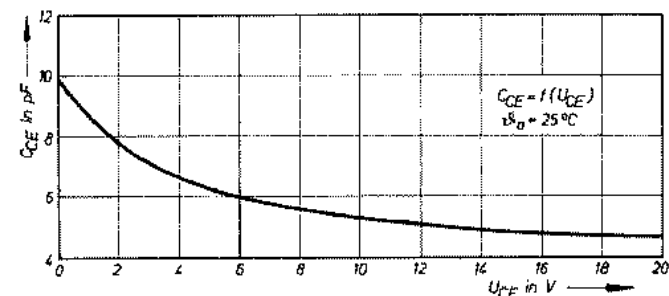


Bild 9: Mittlere Kollektor-Emitterkapazität des Fototransistors im Ausgangskreis des Kopplers MB 104 in Abhängigkeit von der Kollektor-Emitterspannung

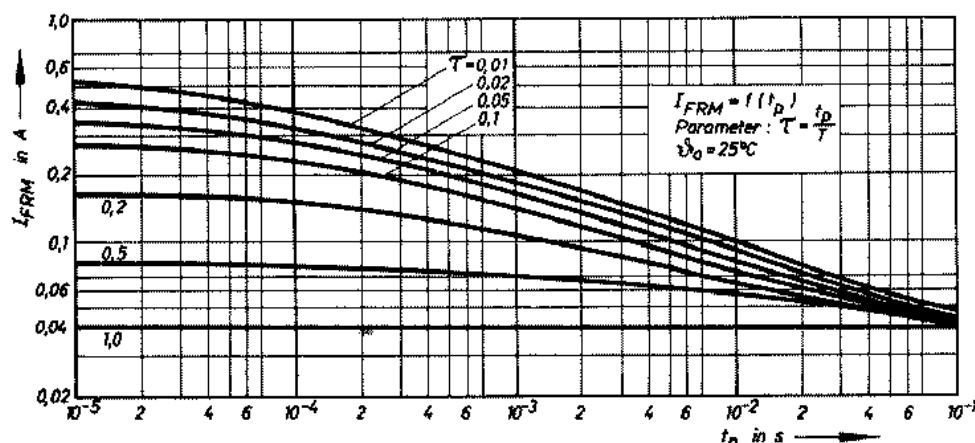


Bild 10: Impulsbelastungsdiagramm für den Spitzengleichstrom der Eingangsdiode für eine Umgebungstemperatur $\theta_a = 25^\circ\text{C}$